



آشکارسازی حالات لبخند و خنده چهره افراد

بر پایه نقاط کلیدی محلی کمینه

مینا محمدی دشتی^۱ و مجید هارونی^{۲*}

^۱ دانشکده مهندسی کامپیوتر، واحد نجف آباد، دانشگاه آزاد اسلامی، نجف آباد، ایران

^۲ گروه مهندسی کامپیوتر، واحد دولت آباد، دانشگاه آزاد اسلامی، اصفهان، ایران

چکیده

در این مقاله، آشکارسازی حالات لبخند و خنده چهره با رویکرد توصیف و کاهش بعد نقاط کلیدی ارائه شده است. اساس کار در این پژوهش بر مبنای دو هدف استخراج نقاط محلی کلیدی و ویژگی ظاهری آنها، و همچنین کاهش وابستگی سامانه به آموزش نهاده شده است. برای تحقق این اهداف سه سناریوی مختلف استخراج ویژگی ارائه شده است. ابتدا اجزای یک صورت تو سط الگوریتم الگویی دودویی محلی آشکار می شود؛ سپس در سناریوی نخست، با توجه به تغییرات همبستگی پیکسل های مجاور بافت محدوده لب، مجموعه نقاط کلیدی محلی بر پایه گوشیهای هربیس استخراج می شود. در سناریوی دوم، کاهش بعد نقاط مستخرج سناریوی نخست با بهبود الگوریتم تحلیل مؤلفه های اصلی انجام می شود؛ و در سناریوی آخر با مقایسه مختصات نقاط مستخرج از سناریوی نخست و توصیف گر بریسک مجموعه نقاط بحرانی استخراج می شود. در ادامه بدون آموزش سامانه، با مقایسه شکل و فاصله هندسی نقاط محلی محدوده لب حالات چهره آشکار می شود. برای ارزیابی روش پیشنهادی، از پایگاه داده های استاندارد و شناخته شده CAFE، JAFFE، Cohn-Kaonde و Yale استفاده شده است. نتایج بدست آمده از سناریوهای مختلف به ترتیب بیان گر بهبود $\frac{6}{33}$ و $\frac{16}{46}$ در صد متوسط نرخ دقت باز شنا سی سناریوی دوم نسبت به نخست و سناریوی سوم نسبت به دوم است. همچنین نتایج کلی آزمایش ها، کارایی قابل قبول بالای 90% در صد روش پیشنهادی را نشان می دهد.

وازگان کلیدی: استخراج نقاط کلیدی محلی، آشکارسازی حالات چهره، گوشیهایی، الگوریتم توصیف گر، کاهش بعد

Smile and Laugh Expressions Detection Based on Local Minimum Key Points

Mina Mohammadi Dashti¹ & Majid Harouni^{2*}

¹Faculty of Computer Engineering, Najafabad Branch, Islamic Azad University,
Najafabad, Iran

²Department of Computer Engineering, Dolatabad Branch, Islamic Azad University,
Isfahan, Iran

Abstract

In this paper, a smile and laugh facial expression is presented based on dimension reduction and description process of the key points. The paper has two main objectives; the first is to extract the local critical points in terms of their apparent features, and the second is to reduce the system's dependence on training inputs. To achieve these objectives, three different scenarios on extracting the features are proposed. First of all, the discrete parts of a face are detected by local binary pattern method that is used to extract a set of global feature vectors for texture classification considering various regions of an input-image face. Then, in the first scenario and with respect to the correlation changes of adjacent pixels on the texture of a mouth area, a set of local key points are extracted using the Harris corner detector. In the second scenario, the dimension

* Corresponding author

** نویسنده عهده دار مکاتبات

reduction of the extracted points of first scenario provided by principal component analysis algorithm leading to reduction in computational costs and overall complexity without loss of performance and flexibility; and in the final scenario, a set of critical points is extracted through comparing the extracted points' coordinates of the first scenario and the BRISK Descriptor, which is utilized a neighborhood sampling strategy of directions for a key-point. In the following, without training the system, facial expressions are detected by comparing the shape and the geometric distance of the extracted local points of the mouth area. The well-known standard Cohn-Kaonde, CAFÉ, JAFFE and Yale benchmark dataset are applied to evaluate the proposed approach. The results shows an overall enhancement of 6.33% and 16.46% for second scenario compared with first scenario and third scenario compared with second scenario. The experimental results indicate the power efficiency of the proposed approach in recognizing images more than 90 % across all the datasets.

Keywords: Local key points extraction, facial expression detection, corner detector, descriptor algorithm, dimension reduction

که سبب می‌شوند چهره‌ها را در دسته‌های مشخص شده‌ای نتوان طبقه‌بندی کرد [9]. تغییرات در شدت نور و یا تغییرات ظاهری مثل کوتاهی یا بلندی موی سر و چهره یا نحوه مرتب کردن آنها و بستن چشم‌ها، گذاشتن عینک، سبیل و ریش، پوشش شال و کلاه، و حتی تغییر سن ممکن است، باعث تغییر بافت تصویر و یا چهره شوند [10]. موارد ذکر شده علاوه بر ایجاد مشکلات کلیدی برای استخراج ویژگی‌های محلی برای تشخیص و آشکارسازی چهره نیز موانعی را به وجود می‌آورند. از طرفی دیگر، جهت تشخیص حالات چهره بر پایه ویژگی‌های محلی می‌بایست ابتدا محدوده چهره در هر تصویر ورودی آشکار شود. روش‌های آشکارسازی چهره به دو روش مبتنی بر ظاهر و مبتنی بر ویژگی دسته‌بندی می‌شوند [11]. در روش‌های مبتنی بر ظاهر، هدف یافتن یک توصیف کلی از چهره است، استفاده از الگوریتم‌های تحلیل مؤلفه‌های اصلی (PCA) توسط [12] در سال ۱۹۹۱ و در ادامه توسط [13] در سال ۲۰۱۴، تحلیل تفکیک خطی (LDA)^۱ [14,15]، و تحلیل مؤلفه‌های مستقل (ICA)^۲ [16,17]، در این روش‌ها پیشنهاد شده است. در روش‌های مبتنی بر ویژگی، هدف استخراج ویژگی‌های منحصر به فرد جهت تعیین نقاط بر جسته یک تصویر است. در این میان روش‌های بر پایه الگوریتم‌های آشکارساز لبه [18]، خطوط راست [19,20]، و گوشه [21-23] پیشنهاد شده است؛ که با توجه به نوع بافت چهره و اجزای آن، استخراج و آشکارسازی گوشه‌های تصویر علاوه بر تفکیک‌پذیری و تمایز بین حالت چهره، از ثبات اطلاعات لازم نسبت به دو نوع دیگر می‌تواند بخوبی داشته باشد. بازنگشتنی حالات چهره بر اساس استخراج نقاط کلیدی مبتنی بر الگوریتم گوشه‌یاب (FAST)^۳ توسط گاوو و همکاران در سال

۱- مقدمه

حالات چهره انسان ویژگی‌های منحصر به فرد را می‌توانند در بر داشته باشند. از این‌رو آشکارسازی حالت چهره می‌بین اطلاعات ظاهری است و به تبع آن کمک به تشخیص تغییرات رفتاری، روحی و روانی آنی یک شخص می‌کند. این موضوع نقش بهسزای در گسترش ادراک فعالیت‌های شناختی و بیبود ارتباطات غیر کلامی یک شخص و یا بیمار ایفا می‌کند [1]. عوامل مؤثری همچون متنوع بودن، تغییرپذیری ژست و ظاهر، افزایش سن و گرفتگی چهره از چالش‌های آشکارسازی در حالت‌های آن محسوب می‌شوند. فرایند سامانه آشکارسازی در چهار مرحله کلی، پیش‌پردازش، قطعه‌بندی، استخراج ویژگی و طبقه‌بندی کننده انجام می‌گیرد [2]. بسته به روش پژوهش پیشنهادی ترکیب یا ادغام این مراحل و یا تمرکز بر روی یک مرحله خاص را مد نظر می‌توان قرار داد. مرحله استخراج ویژگی به عنوان چالش مستقیم بهسازی این نوع سامانه‌ها موردن توجه پژوهش‌گران قرار گرفته است که می‌بایست دارای دو شرط پایه ثبات اطلاعات در تصاویر مختلف و قدرت تمایز باشد [3,4]. در یک نگاه کلی، ویژگی‌های یک شیء تصویر می‌توانند از نوع آماری، مانند تراکم پیکسل‌ها، ساختاری، مانند خط و کمان، و یا ترکیبی از این دو نوع باشند [5]؛ همچنین در یک دسته‌بندی دیگر، ویژگی‌های یک تصویر به دو نوع محلی یا سراسری می‌توانند تقسیم‌بندی شوند [6-8]. در این میان ویژگی‌های محلی حالات چهره به استخراج نقاط کلیدی و الگوهای آماری بافت تصویر اطلاق می‌شوند. نحوه عملکرد و استخراج این دو گونه ویژگی‌های محلی چالش‌های جدی جهت کارایی سامانه آشکارسازی حالت چهره و انطباق خصوصیات منحصر به فرد هر جزء از چهره را ایجاد کرده‌اند. عواملی که استخراج این گونه ویژگی‌ها را تحت تأثیر قرار می‌دهند، شامل مواردی همچون وجود اختلاف زیاد چهره افراد بر اساس نژاد، منطقه جغرافیایی، و رنگ پوست هستند

¹ Principal Component Analysis

² Linear Discriminant Analysis

³ Independent Component Analysis

⁴ Features from Accelerated Segment Test



بخش سوم روش پیشنهادی به تفصیل توضیح داده شده است. در بخش بعدی نتایج پیاده‌سازی، آزمایش‌های انجام شده و ارزیابی بیان شده است. و بخش آخر به نتیجه‌گیری اختصاص داده شده است.

۲- پایگاهداده‌های شاخص

در این پژوهش از تصاویر سه حالت مختلف چهره، یعنی معمولی، لبخند و خنده، پایگاهداده‌های استاندارد Cohn-Kaonde، JAFFE و CAFE استفاده شده است. پایگاهداده Cohn-Kaonde شامل ۱۴۳ تصویر بین باره سنی ۱۸-۳۰ سال بوده که از چندین کشور مختلف با دو جنسیت متفاوت، دارای کلاه، رنگ پوست متفاوت، مدل موهای مختلف هستند [29]. پایگاهداده JAFFE شامل ۲۱۳ تصویر سیاه و سفید از هفت حالت چهره ده خانم جوان زپنی است که در دانشگاه کیوشوی زپن تهیه شده است [30]. پایگاه داده CAFE شامل ۱۳۹ تصویر سیاه و سفید از شش حالت چهره در دانشگاه کالیفرنیا است. این تصاویر از حالت چهره متفاوت خشم، نفرت، تعجب، شاد، غم انگیز، ترس و تعجب از ۲۴ نفر متفاوت در سنین مختلف جمع آوری شده‌اند [31]. پایگاه داده Yale شامل ۱۶۵ تصویر سیاه و سفید از پانزده نفر با سنین مختلف و هر دو جنسیت تهیه شده است؛ برای هر نفر یارده تصویر متفاوت در حالت‌های همچون حالت غمگین، تعجب و شادی ضبط شده است [32]. خلاصه مشخصه پایگاهداده‌ها در جدول (۱) بیان و نمونه‌ای از تصاویر آن‌ها در شکل (۱) نشان داده شده است.

(جدول-۱): ویژگی‌های پایگاهداده‌های شاخص
(Table-1): Properties of the benchmark datasets

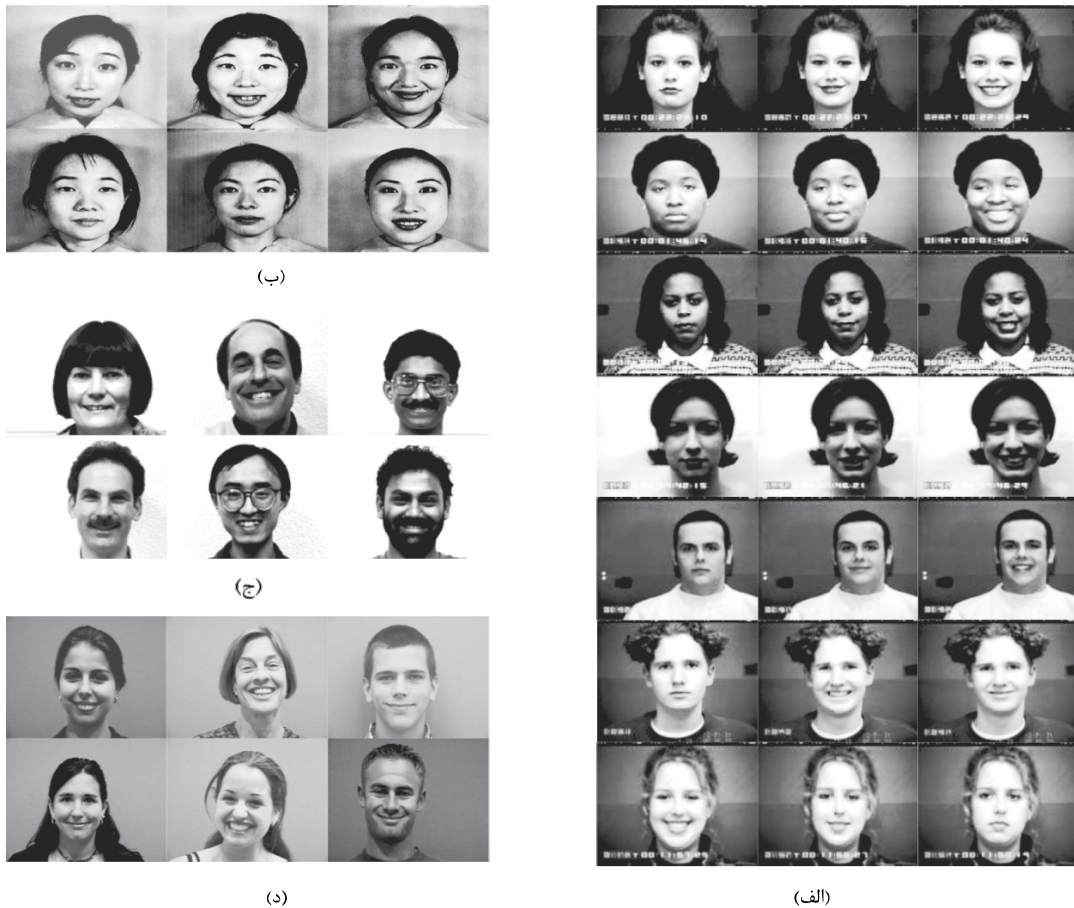
نام	تعداد تصاویر	وضوح تصویر	توضیح
Cohen-kanade	486	490×640	کلاه و بدون کلاه، موهای بلند و کوتاه رنگ پوست سیاه و سفید، هر دو جنسیت زن و مرد،
JAFFE	213	256×256	سیاه و سفید، پس زمینه تیره و روش، جنسیت زن
CAFE	139	320×243	موهای بلند و کوتاه، پس زمینه تیره و روش، هر دو جنسیت زن و مرد
Yale	165	320×243	عینک و ریش و سبیل، نورهای مختلف، هر دو جنسیت زن و مرد

۲۰۱۵ انجام شد که نقاط گوشه بلاستفاده توسط یک ماسک صورت، فیلتر و حذف شد [24]. لبه‌های تصویر توسط دو طبقه‌بندی کننده فاصله اقلیدسی آشکار شده سپس حالات چهره بر پایه شبکه عصبی بازناسی می‌شود [25] و یا ترکیبی از الگوریتم‌های لبه‌یابی جهت آشکارسازی حالات چهره پیشنهاد شده است [26,27]. در تمامی روش‌های ارائه شده مبنای بر استخراج ویژگی‌های سراسری چهره بوده است که نیاز سامانه به آموزش مشهود است؛ مانند [28] که پس از استخراج ویژگی گابور، یک مدل پیش‌گوی مبتنی بر منیفولد محلی خطی پیشنهاد شده است؛ در صورتی که در بازناسی حالات بر پایه ویژگی‌های محلی، علاوه‌بر کاهش محاسبات پردازش، از واپستگی ذاتی نقاط کلیدی مجاور نیز می‌توان بهره برد؛ با این عمل از خصوصیت ظاهری و هندسی این نقاط نسبت به هم استفاده شده و در نتیجه مرحله آموزش سامانه می‌تواند حذف شود.

هدف اصلی این مقاله ارائه یک روش ترکیبی آشکارسازی حالت خنده و لبخند چهره افراد بر پایه ویژگی‌های محلی و ظاهری تصویر است. در این راستا، افزایش توان تعمیم آشکارسازی حالت چهره به کمک افزایش توان محاسباتی الگوریتم‌ها در سه سناریوی مورد توجه قرار گرفته است. در سناریوی نخست، ویژگی‌های مکانی و ساختاری تصاویر بر اساس تغییرات همبستگی پیکسل‌های مجاور بافت استخراج می‌شود؛ بدین صورت که، از الگوریتم گوشه‌یاب Harris (Harris)^۱ جهت استخراج ویژگی با خصوصیت اصلی حساسیت به چرخش تصویر استفاده شده است. در سناریوی دوم، از الگوریتم ترکیبی PCA و Harris جهت کاهش طول بردار ویژگی استفاده شد؛ که علاوه‌بر حذف ویژگی‌های نامفید، باعث کاهش زمان محاسبات و افزایش دقت بازناسی Harris می‌شود؛ سناریوی سوم بر اساس ترکیب دو الگوریتم و نقاط کلیدی مقیاس‌پذیر ثابت دودویی مقاوم^۲ (BRISK) است که مقایسه توصیفی ضرایب نقاط کلیدی الگوریتم BRISK با الگوریتم Harris در نرخ دقت بازناسی مورد بررسی قرار گرفته است. مزیت اصلی این سناریو کاهش حساسیت سامانه به تغییرات چرخش و مقیاس تصویر است. در روش پیشنهادی این مقاله، ضمن بهره‌گیری از مفاهیم به کار رفته در این سه سناریو، آشکارسازی حالات خنده و لبخند چهره بدون آموزش و مبتنی بر شکل، مکان هندسی و فاصله اقلیدسی نقاط محلی از هم دیگر ارائه شده است. در ادامه این مقاله، در بخش دوم، پایگاهداده‌های شاخص جهت ارزیابی روش پیشنهادی بررسی می‌شود. در

¹ Harris Corner Detector

² Binary Robust Invariant Scalable Key-points



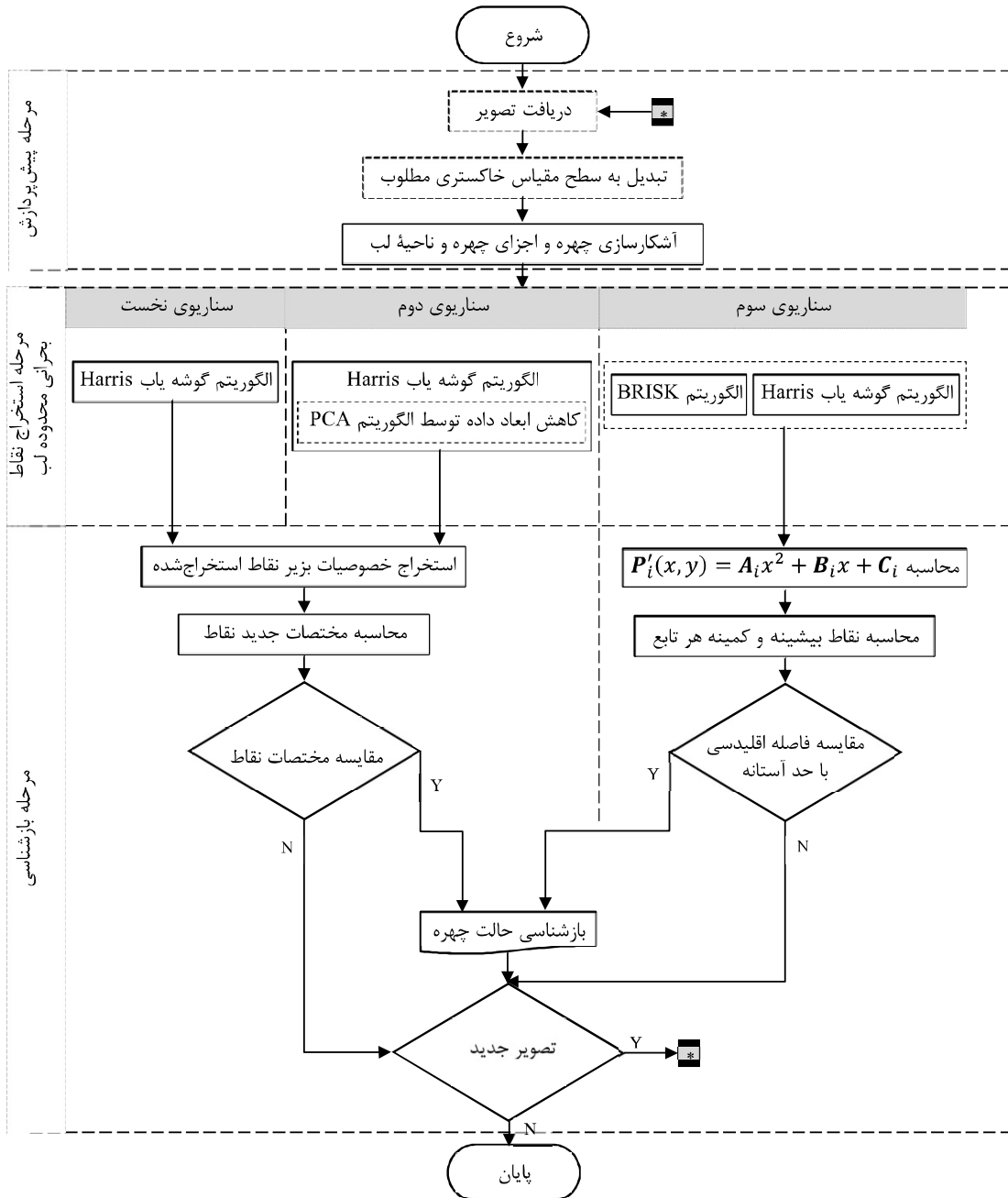
(شکل-۱): نمونه‌های از تصاویر پایگاه داده‌ها: a) Cohn-Kaonde، b) Yale، c) JAFFE، d) CAFE
 (Figure-1): Sample facial expression images in datasets: a) Cohn-Kaonde, b) Yale, c) JAFFE, d) CAFE

توابع برازش درجه دوم ایجادشده از مختصات این نقاط و همچنین فاصله اقلیدسی میان نقاط بیشینه و کمینه این توابع، بازناسی نهایی حالات چهره انجام می‌شود. از آجایی که این تعمیم بازناسی با تمرکز بر افزایش کارایی روش پیشنهادی و کاهش ابعاد نقاط مستخرج کلیدی و وابستگی به یک طبقه‌بند شبیه‌سازی شده است، مبنای کار بر پایه حذف نقاط با اطلاعات ناکافی و مشابه و یا با اطلاعات اشتباهی است که به طور مستقیم بر افزایش بار محاسباتی سامانه تأثیر دارد و یا حتی ممکن است، سبب تولید خروجی نامطلوب نیز شوند؛ بنابراین در بازناسی حالات چهره بدون آموزش، بررسی سناریوهای پالایش این نقاط کلیدی، امری ضروری به نظر می‌رسد. از همین‌رو، اساس کار، انتخاب استخراج نقاط کلیدی یک حالت چهره خواهد بود که بهترین‌ایی در توصیف آن حالت مفید باشد.

۳- روش پیشنهادی

شکل (۲) چارچوب کلی روش پیشنهادشده در این پژوهش را نشان می‌دهد. ابتدا با دریافت تصاویر ورودی، عملیات پیش‌پردازش تبدیلات سطح خاکستری و شدت روشنایی اعمال می‌شود تا تصاویر مطلوب‌تری حاصل شود؛ مطالعات نشان می‌دهد که نتایج مرحله پیش‌پردازش تأثیر مستقیمی در کارایی مطلوب و سرعت یک سامانه می‌تواند داشته باشد؛ در ادامه، آشکارسازی ناحیه صورت و همچنین محدوده لب بر پایه روش الگوی دودویی محلی^۱ (LBP) پیاده‌سازی شد؛ سپس جهت بازناسی حالات لبخند و خنده چهره سه روش جدایگانه مبتنی بر گوشیابی، کاهش ابعاد داده و استخراج نقاط کلیدی تصاویر ارائه شده است؛ که بر پایه نمایش اشکال هندسی نقاط مستخرج کلیدی و خصوصیات منحنی بزر و یا

¹ Local Binary Pattern



(شکل-۲): چارچوب روند کلی الگوریتم پیشنهادی
(Figure-2): Flow-chart corresponding to the proposed algorithm.

کاهش پیچیدگی محاسبات در مراحل بعدی سامانه، هر تصویر به سطح مقیاس خاکستری توسط رابطه (۱) تبدیل می‌شود.

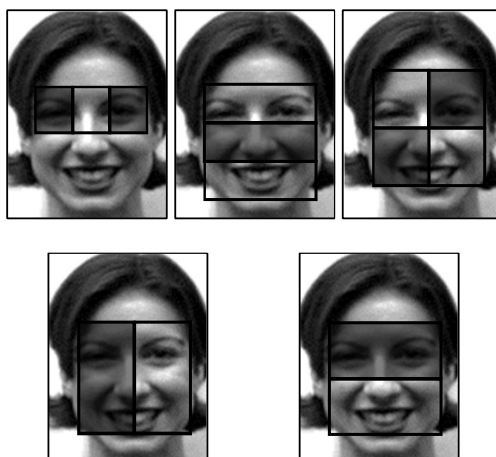
$$G_L(x, y) = 0.30 * R_{(x, y)} + 0.59 * G_{(x, y)} + 0.11 * B_{(x, y)} \quad (1)$$

که G_L مؤلفه خروجی سطح خاکستری تصویر و R ، G و B به ترتیب مؤلفه‌های فرمز، سبز، آبی هر پیکسل از

۱-۳- پیشبردازش تصاویر و آشکارسازی محدوده‌های مورد نظر

در این بخش ابتدا تصاویر ورودی خام به تصاویر مطلوب تبدیل شده و سپس آشکارسازی چهره و محدوده لب انجام می‌گیرد. جهت کاهش ابعاد پیکسل تصاویر خام ورودی و همچنین

کاهش پیچیدگی محاسبات بر روی کل تصویر خواهد بود. در این پژوهش، روش تحلیل بافت LBP به دلیل سادگی محاسبات و همچنین پایداری در برابر تغییرات اندک روش‌نایی تصاویر ورودی به عنوان روش آشکارسازی محدوده‌های مورد نظر تصاویر به کار گرفته شده است [34]. این روش در دو مرحله کلی ابتدا جهت جداسازی محدوده صورت و سپس تخمین محدوده لب بر روی آن پیاده‌سازی شده است. بر پایه منبع [35] الگوریتم واپولا-جونز برای استخراج محدوده‌های مورد نظر استفاده شده است. این الگوریتم ابتدا تصویر ورودی را به زیرتصاویر یا پنجره‌هایی به اندازه 24×24 تقسیم‌بندی کرده و سپس در چهار گام اصلی کار می‌کند: نخست، استخراج ویزگی‌های هار² (شکل (۳))؛ دوم، ارزیابی ویزگی‌ها توسط تصاویر انگرال³ (رابطه (۶) و شکل (۴))؛ سوم، استفاده از الگوریتم یادگیری آدابوست⁴ جهت انتخاب بهترین ویزگی‌ها، در این مرحله ترکیب دسته‌بندهای ضعیف باعث به وجود آمدن یک دسته‌بندی قوی می‌شود؛ و در آخر استفاده از طبقه‌کننده آبشاری جهت تمايز بین تصاویر صورت/محدوده لب و یا غیر صورت/محدوده لب.



(شکل-۳): شماتیکی از ویزگی‌های هار
(Figure-3): Overview of proposed Haar features set.

$$I_G_{Desired}^L(x,y) = \sum_{x' \leq x, y' \leq y} G_{Desired}^L(x',y') \quad (6)$$

$G_{Desired}^L$ که $I_G_{Desired}^L$ مجموع تصاویر انگرالی و تصویر واقعی مطلوب پیش‌پردازش شده هستند.

² Haar Features

³ Integral Images

⁴ Ada-boost

تصویر ورودی هستند [33]. در ادامه جهت تعديل و بهبود شدت روش‌نایی تصاویر بالا از الگوریتم بهبودیافته تطبیقی معکوس تائزات هذلولوی (E-AIHT)^۱ که بر پایه الگوریتمی است که در منبع [9] در سال ۲۰۰۱ است، استفاده می‌شود. در این الگوریتم بهبود شدت روش‌نایی بهصورت رابطه (۲) انجام می‌شود.

$$G_L_{(i,j)} = \log \left(\frac{Bias(G_L_{(i,j)})}{\frac{1+G_L_{(i,j)}}{1-G_L_{(i,j)}}} \right)^{-1} \times Gain(G_L_{(i,j)}) \quad (2)$$

که $G_L_{(i,j)}$ مقدار سطح خاکستری در سطر i ام و ستون j ام تصویر است. همچنین توابع کنترل $Bias(G_L_{(x,y)})$ و $Gain(G_L_{(x,y)})$ به ترتیب نشان‌دهنده سرعت تغییر روش‌نایی پیکسل و تابع وزنی شبیه تند منحنی E-AIHT هستند که از رابطه‌های (۳)، (۴) و (۵) قابل محاسبه هستند.

$$Bias(G_L_{(x,y)}) = \left(\frac{\frac{1}{m \times n} \sum_{i=1}^m \sum_{j=1}^n G_L_{(x,y)}}{\alpha} \right)^\beta \quad (3)$$

$$\begin{aligned} Gain(G_L_{(x,y)}) &= \rho \times (variance)^\gamma \\ &= \rho \times \left(\frac{1}{m \times n} \sum_{i=1}^m \sum_{j=1}^n (G_L_{(x,y)} - \mu) \right)^\gamma \end{aligned} \quad (4)$$

$$\mu = \frac{1}{m \times n} \sum_{i=1}^m \sum_{j=1}^n G_L_{(x,y)} \quad (5)$$

که α و β پارامترهای قبل تنظیم جهت مشخص کردن سرعت تغییرات روش‌نایی پیکسل‌ها، ρ و γ پارامترهای وزنی شبیه تند منحنی و همچنین m و n تعداد سطرها و ستون‌های تصویر هستند. با اعمال این الگوریتم تصاویر سطح خاکستری مطلوب $G_{Desired}^L$ به دست می‌آید. در سامانه‌های بازنگشتنی حالات چهره، آشکارسازی چهره و محدوده لب اهمیت زیادی دارند. در این میان، مشخص کردن محدوده لب به منظور کاهش زمان پردازش و

¹ Enhanced Adaptive Inverse Hyperbolic Tangent Algorithm

۲×۲ از طریق رابطه (۸) میزان تغییر جهت‌ها و پراکندگی پیکسل‌ها را می‌توان محاسبه کرد.

$$D = \sum_{X,Y} I_w(x,y) \begin{bmatrix} I_X^2 & I_X I_Y \\ I_X I_Y & I_Y^2 \end{bmatrix} \quad (8)$$

جایی که I_X و I_Y میزان شدت پیکسل تصویر^۱ در محورهای x و y و I_w تصویر پنجره‌دار شده هستند؛ و رابطه‌های (۹)، (۱۰) و (۱۱) مشخص می‌کنند که وضعیت و ویژگی ظاهری پیکسل مرکزی چگونه است:

$$f_{Respond} = \det(D) - k \operatorname{Tr}(D)^2 \quad (9)$$

$$\det(D) = I_X^2 I_Y^2 + (I_X I_Y)^2 \quad (10)$$

$$k \operatorname{Tr}(D) = I_X^2 + I_Y^2 \quad (11)$$

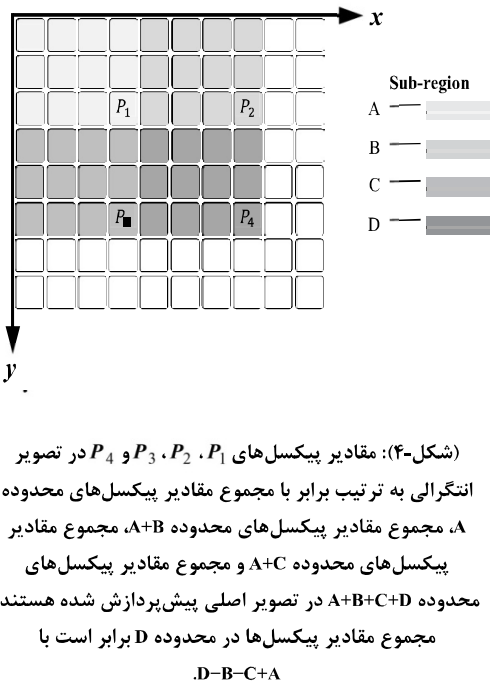
در رابطه‌های بالا k یک پارامتر ثابت تجربی است که بین ۰/۰۴ و ۰/۰۶ در نظرگرفته می‌شود [37]. $f_{Respond}$ تابع پاسخی است که اگر مقدار آن مثبت، منفی و یا خیلی کوچک‌تر از یک حد آستانه باشد، به ترتیب مشخص کننده این است که پیکسل مرکزی در ناحیه گوشه، لبه و یا یک سطح صاف قرار دارد؛ بدین ترتیب پیکسل‌های گوشه در محدوده لب به صورت رابطه (۱۲) ذخیره می‌شوند.

$$P_{corner}^{II}(x,y) = \{(x_1, y_1), \dots, (x_i, y_i) | 1 \leq i \leq n'\} \quad (12)$$

که در آن n' تعداد نقاط گوشه در محدوده لب است. در ادامه، جهت بازناسی حالت چهره از نمایش اشکال هندسی نقاط بالا توسط الگوریتم (۱) که مبتنی بر خصوصیات منحنی بزرگ است، استفاده می‌شود. در تفسیر و بازناسی حالت شکل نقاط به دست آمده ابتدا یک بردار با فضای خطی به اندازه $n' \times n'$ ایجاد و سپس ماتریس $n' \times n'$ ایجاد می‌شود که با مقادیر قابل محاسبه از موقعیت سطري و ستونی هر عنصر و همچنین مقادیر بردار ذکر شده مقداردهی می‌شود. در ادامه، مختصات جدید نقاط کلیدی بر پایه ترانهاده بردار و همچنین ماتریس ایجاد شده، محاسبه و با مقایسه مختصات نقاط جدید و قبلی، حالت چهره بازناسی می‌شود.

۲-۳-۲- ستاریوی دوم: کاهش بعد نقاط داده‌ها

در این روش پیکسل‌های گوشه در محدوده لب مطابق روش پیشنهادی قبلی بر پایه الگوریتم Harris استخراج می‌شود، سپس در فضای برداری توسط الگوریتم PCA کاهش بعد مجموعه داده‌های این پیکسل‌ها انجام می‌گیرد. درواقع به کمک ماتریس کوواریانس که در رابطه (۱۳) نشان داده



(شکل-۴): مقادیر پیکسل‌های P_1 ، P_2 ، P_3 و P_4 در تصویر انتگرالی به ترتیب برابر با مجموع مقادیر پیکسل‌های محدوده A ، مجموع مقادیر پیکسل‌های محدوده $A+B$ ، مجموع مقادیر پیکسل‌های $A+C$ و مجموع مقادیر پیکسل‌های محدوده $A+B+C+D$ در تصویر اصلی پیش‌بردازش شده هستند. مجموع مقادیر پیکسل‌ها در محدوده D برابر است با $D-B-C+A$.

(Figure-4): The pixels values of P_1 , P_2 , P_3 and P_4 in the integral images are, respectively, equal to the sum of all pixels values in A area, the sum of all pixels values in $A+B$ area, the sum of all pixels values in $A+C$ area, and the sum of all pixels values in $A+B+C+D$ area in the pre-processed (original) image. The sum of all pixels values in D area is $D-B-C+A$.

۳-۲- استخراج نقاط بحرانی محلی و بازشناسی حالات چهره

جهت استخراج نقاط بحرانی محدوده لب و سپس محاسبات لازم جهت بازشناسی حالات خنده و لبخند چهره سه سناریوی مختلف پیشنهاد و مورد بررسی قرار گرفته است.

۱-۲-۳- سناریوی نخست: استخراج نقاط گوشه

در این روش ابتدا نقاط گوشه بعنوان نقاط بحرانی در محدوده لب توسط الگوریتم Harris استخراج می‌شود [34]. برای این منظور، انتخاب پیکسل‌های همسایه یک پیکسل مرکزی توسط یک پنجره گاوی بر اساس رابطه (۷) به دست می‌آید.

$$I_w(x,y) = \exp\left(-\frac{x^2 + y^2}{2\sigma^2}\right) \quad (7)$$

که σ اندازه پنجره گاوی است. جزئیات بیشتر مربوط به نحوه محاسبات و پیاده‌سازی الگوریتم Harris در [34,36] آورده شده است. با به دست آوردن میزان جایه‌جایی یک پنجره تصویر در محورهای x و y و همچنین استفاده از یک ماتریس



حالت چهره از نمایش اشکال هندسی نقاط بالا توسط الگوریتم
(۱) همانند روش قبلی انجام می‌گیرد.

$$Cov(x, y) = \frac{\sum_{i=1}^{n''} (x_i - \bar{x})(y_i - \bar{y})}{(n'' - 1)} \quad (13)$$

میانگین ارزش مقادیر پیکسل‌های یک تصویر با تعداد
کل n'' پیکسل با \bar{x} و \bar{y} نشان داده شده است.

شده است مقادیر ویژه داده‌ها به یک زیرفضای جدید منتقل
می‌شوند. به این ترتیب مؤلفه‌هایی از مجموعه داده که بیشترین
تأثیر در واریانس را دارند، حفظ شده و مابقی حذف خواهد
شد [38,39]. با انجام این کار، تعداد نقاط گوشش در محدوده
لب به تعداد m' کاهش پیدا می‌کند؛ سپس دوباره بازناسی

الگوریتم (۱): بازناسی حالت چهره

(Algorithm-1): The facial expression recognition.

Input: the number of extracted key-points in the mouth area: n' , and their two-dimensional coordinate values:
 $P(x, y)$.
Create a vector $[1, n']$ in a Linear Space as V_{ls} ;
Create a Zero Matrix $[n', n']$ as M_z ;
For $(i = 1; i \leq n'; i++)$ **then** // consider each column of matrix M_z
 For $(j = 1; j \leq n'; j++)$ **then** // consider each row of matrix M_z
 Fill each column with: $\left(\frac{n'!}{(n' - j)! j!} \right) \circ (V_{ls} \square j) \circ (1 - V_{ls})^T (n' - j + 1)$;
 End For
End For
Create a Modified Matrix $[n', 1]$ as $M_m = V_{ls}^T \circ n'$;
Compute and **Permute** new two-dimensional coordinate values of the key-points:
 $P'(x, y) = (M_z + M_m) \times P(x, y)$;
End For
If $(P'(x, y) > P(x, y))$ **then**
 F = 1 ; // the facial expression is recognized
Else
 F = 0 ; // the facial expression is not recognized
End if
Output: return F .

بخش شتاب‌یافته عام و تطبیقی^(۱) (AGAST) آشکار و سپس
پیکسل‌ها در همسایگی نقطه مرکزی در قالب ناحیه فضاهای
مقیاسی^(۲) آشکار می‌شود؛ بدین ترتیب تصویر ورودی به تعدادی
نمونه به نام اکتاوها و اکتاوهای درونی، بر پایه الگوریتم (۲) با
ورودی تصویر رابطه (۶) و بیشینه مقدار n برابر چهار ایجاد
می‌شوند. در مرحله دوم برای هر کدام از اکتاوها و اکتاوهای
درونی، نقاط کلیدی بر پایه روش گوششیاب FAST استخراج
می‌شوند. همان‌گونه که در شکل (۵) نشان داده شده است، در
این روش، میزان شدت روشنایی، حول یک پیکسل مرکزی با
پیکسل‌ها در همسایگی درجه سوم آن مورد بررسی قرار
می‌گیرد؛ در صورتی که میزان اختلاف شدت روشنایی بیشتر
پیکسل‌های متواالی در این همسایگی با پیکسل مرکزی فاحش
باشد، به عنوان یک نقطه کلیدی در نظر گرفته می‌شود.

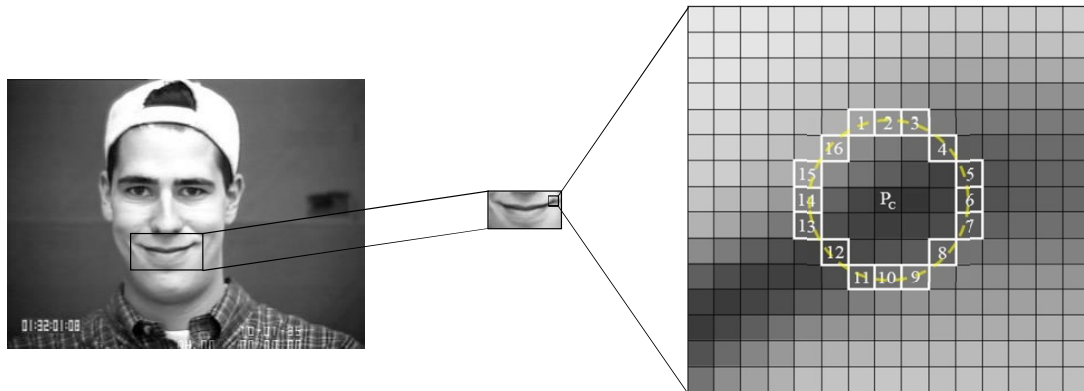
^۱ Adaptive and Generic Accelerated Segment Test

^۲ Scale-space Area

۳-۲-۳- سناریوی سوم: ترکیب Harris و BRISK
ایجاد یک مازول ترکیبی از الگوریتم Harris و توصیفگر
BRISK در این روش پیشنهاد شده است. بدین ترتیب که هر
دو الگوریتم در دو فازکاری موازی به صورت جداگانه نقاط
بحranی محدوده لب را استخراج کرده و در یک ترکیب
مقایسه‌ای بازناسی حالت لیخند و خنده چهره صورت
می‌پذیرد. مرحله نخست همانند روش پیشنهادی یک، نقاط
بحرانی مستخرج از محدوده لب همانند رابطه (۱۲) ذیخیره
می‌شوند. در مرحله دوم، توصیف و استخراج نقاط بحرازی
محدوده لب توسط الگوریتم BRISK توصیفگر انجام می‌شود
. [40]

این الگوریتم توصیفگر در سه گام اصلی کار می‌کند،
در گام نخست، ابتدا محدوده فضای نقاط کلیدی بر پایه شدت
روشنایی پیکسل‌ها توسط روش گوششیاب تطبیق و آزمون

(الگوریتم-۲): آشکارساز ناحیه فضاهای مقیاس (Algorithm-2): The facial expression recognition.	
Input:	an original image that called octave c_0 .
For ($i = 1; i \leq n - 1; i++$) then	
Create octave images, where octave c_i is half-sampled from prior octave and compute scale: $t(c_i) = 2^i$;	Create intra-octave images, where octave d_i is down-sampled located between octaves c_i and c_{i+1} and compute scale: $t(d_i) = 2^i \cdot 1.5$;
End For	
Output:	octave and intra-octave images.



(شکل-۵): شمای کلی از بررسی پیکسل های همسایه درجه سوم در روش گوشیاب FAST. تصویر اصلی (سمت چپ)، محدوده لب آشکار شده (وسط) و پیکسل های گوشی گشته سمت راست دهان (سمت راست)

(Figure-5): Overview of third adjacent pixel in FAST corner detector method: original image (Left), detected mouth area (middle), the pixels location on right corner of a mouth (right).

و در غیر این صورت مقدار یک ظاهر می شود؛ بدین صورت نقاط بحرانی محدوده لب استخراج می شوند.

$$A = \{(p_j, p_i) \in R^2 \times R^2 | i, j \in N, j < i < N\} \quad (14)$$

$$S = \{(p_i, p_j) \in A | |p_j - p_i| < \sigma_{max}\} \subseteq A \quad (15)$$

$$L = \{(p_i, p_j) \in A | |p_j - p_i| > \sigma_{min}\} \subseteq A \quad (16)$$

$$G = \begin{pmatrix} g_x \\ g_y \end{pmatrix} = \frac{1}{L} \cdot \sum_{(p_i, p_j) \in L} G(p_i, p_j) \quad (17)$$

$$(p_j, p_i)_{Orientation} = G(p_j - p_i) \frac{I(p_j, \sigma_i) - I(p_j, \sigma_j)}{\|p_j - p_i\|^2} \quad (18)$$

$$L = \{(p_i, p_j) \in A | |p_j - p_i| > \sigma_{min}\} \subseteq A \quad (19)$$

ماژول بازنگاری حالات چهره بر پایه دوتابع برآش درجه دو ایجاد شده از مختصات نقاط کلیدی محدوده لب در الگوریتم های BRISK و Harris و همچنین فاصله اقلیدسی

توصیف نقاط کلیدی استخراج شده در مرحله سوم انجام می شود. در توصیف گر نقاط کلیدی^۱، ترکیب های دوتایی (p_i, p_j) از این نقاط (رابطه (۱۴)) به صورت تصادفی انتخاب و بر اساس فاصله زوج نقاط انتخاب شده، به دو گروه نقاط با فاصله نزدیک و نقاط با فاصله دور که به ترتیب در رابطه های (۱۵) و (۱۶) نشان داده شده اند، تقسیم می شوند. با محاسبه گردایان محلی مجموع زوج نقاط با فاصله دور از رابطه (۱۷)، جهت گرایی تصویر را از رابطه (۱۸) می توان محاسبه کرد و سپس به کمک رابطه (۱۹) مجموع زوج نقاط با فاصله نزدیک را بر اساس آن چرخاند؛ با این عمل یک توصیف گر دودویی ایجاد می شود. جهت محاسبات میزان اختلاف بین دو نقطه کلیدی در قسمت توصیف گر همخوان ساز^۲ از تابع بولی XOR جهت کد فاصله همینگ آنها استفاده می شود. اگر دو نقطه با یکدیگر شکل یکسان داشته باشند، در خروجی مقدار صفر

¹ Key-point Descriptor

² Descriptor Matching

صورت تابع بیشینه دارد و کمینه نخواهد داشت و در نتیجه راس سهمی تابع به عنوان یک ویژگی قابل محاسبه است. دو ویژگی مهم در مورد سهمی تابع این است که مرکز تقارن ندارند و هر سهمی یا یک بیشینه دارد و یا یک کمینه، در نتیجه در پایان این مرحله مختصات دو نقطه محاسبه می‌گردند.

میان نقاط بیشینه و کمینه این دو تابع می‌باشد. ابتدا توسط الگوریتم (۳)، مقادیر ضرایب ثابت و عرض از مبدأ هر یک از این توابع به دست می‌آید؛ بسته به این مقادیر می‌توان طول نقطه کمینه و یا بیشینه هر تابع را توسط رابطه (۲۰) محاسبه نمود. لازم به ذکر است اگر $A_i > 0$ باشد آنگاه تابع کمینه دارد و بیشینه ندارد. و در صورتی که $A_i < 0$ باشد در این

(الگوریتم-۳): محاسبه پارامترهای بازناسی حالت چهره در سناریو سوم (Algorithm-3): The calculator of facial expression recognition parameters in the third scenario.	
1: Input:	the number of extracted key-points in the mouth area using Harris and BRISK algorithms: n_1 and n_2 , and their two-dimensional coordinate values: $P_1(x,y)$ and $P_2(x,y)$ respectively.
2:	Find the maxima and minima coordinate values of $P_2(x,y)$ as $Max_2(x,y)$ and $Min_2(x,y)$;
3:	Calculate the average of the values: $Average_2(x,y) = (Max_2(x,y) + Min_2(x,y)) / 2$;
4:	Calculate the new coordinate values: $P'_2(x,y) = Average_2(x,y) \times P_2(x,y)$;
5:	Interpolate the coordinate values of $P'_2(x,y)$ by using Spline Interpolation method as $P'_{2i}(x,y)$;
6:	Find the coefficients of a polynomial $P'_2(x,y)$ of degree 2 as $P'_2(x,y) = A_2x^2 + B_2x + C_2$;
7:	Do step 6 for Harris coordinate values: $P_1(x,y) = A_1x^2 + B_1x + C_1$;
8: Output:	For ($i = 1; i \leq 2; i++$) then return A_i, B_i, C_i End For.

ابتدا جهت کاهش پیچیدگی محاسباتی و همچنین از دست ندادن جزئیات بافت تصاویر، هر تصویر ورودی به بیشینه سطح خاکستری یعنی ۲۵۶ سطح تغییر داده و سپس جهت تعویت تفاوت پیکسل‌ها و تمایز بین ویژگی آنها الگوریتم E-AIHT اعمال می‌شود. در این الگوریتم، پارامترهای α و β تابع کنترلی Bias مطابق شکل (۶) به ترتیب $۰/۲۵$ و $۰/۰۰$ در نظر گرفته می‌شوند؛ درنتیجه میزان متوسط سرعت تغییرات روشنایی پیکسل‌ها جهت تبدیل تصاویر به سطح خاکستری مطلوب به دست می‌آید. تابع وزنی Gain در واقع میزان پراکندگی شدت روشنایی پیکسل‌ها را در تصاویر گردآورد مقدار میانگین آنها تعدیل می‌کند. همان‌طور که شکل (۷) نشان می‌دهد، جهت محاسبه متوسط پراکندگی شدت روشنایی، پارامترهای α و β به ترتیب $۰/۱$ و $۰/۱۵$ می‌تواند در نظر گرفته شود. در انتهای این مرحله، تصویر ورودی به تصویری مطلوب با سطح خاکستری تبدیل می‌شود که در کارایی مؤثر مراحل بعدی سامانه نقش مستقیمی می‌تواند داشته باشد. شکل (۸) نمونه‌های از داده‌های ورودی و خروجی این مرحله را نشان می‌دهد.

$$\left\{ \begin{array}{l} \Delta_i = B_i^2 - 4A_iC_i \\ P_i(x,y) = \begin{cases} x_i = -B_i / 2A_i & \text{where } i \text{ is } \{1,2\} \\ y_i = -\Delta_i / 4C_i \end{cases} \end{array} \right. \quad (20)$$

پس از محاسبه مختصات نقاط بیشینه و کمینه تابع ذکر شده، فاصله اقلیدسی بین آنها بر اساس رابطه (۲۱) محاسبه می‌شود. میزان طول فاصله این نقاط از همدیگر بیان‌گر حالات چهره است.

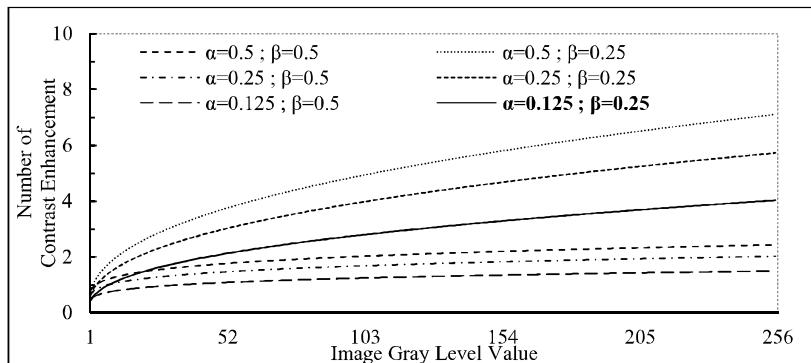
$$Dist(x,y) = \sqrt{\sum_{i=1}^2 (x_i - y_i)^2} \quad (21)$$

۴- نتایج پیاده‌سازی و ارزیابی

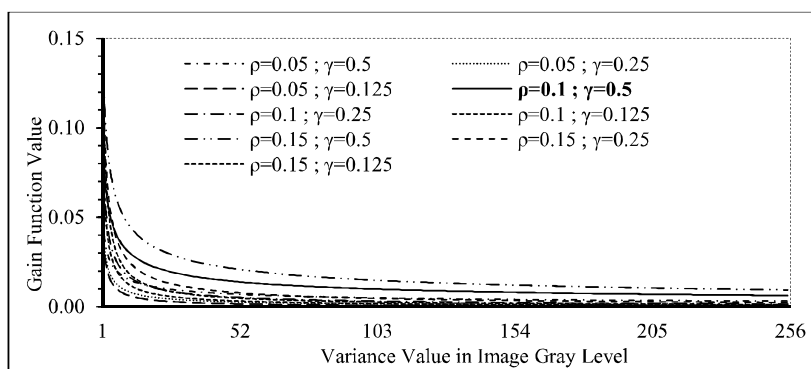
همان‌طور که در بخش‌های پیشین توضیح داده شد، در این پژوهش تصاویر سه حالت احساسی خنده، لبخند و خنثی از پایگاه داده Cohn-Kaonde جهت بررسی کارایی روش پیشنهادی مورد استفاده قرار گرفته است. همچنین برای پیاده‌سازی و شبیه‌سازی روش ارائه شده، از نرم‌افزار MATLAB R2015b بر روی سامانه‌ای با پردازش گر Core

فصلنامه





(شکل-۶): نتایج تنظیم پارامترهای تابع کنترلی Bias
(Figure-6): The adjustment parameters results for bias control function.



(شکل-۷): نتایج تنظیم پارامترهای تابع وزنی Gain
(Figure-7): The adjustment parameters results for gain control function.



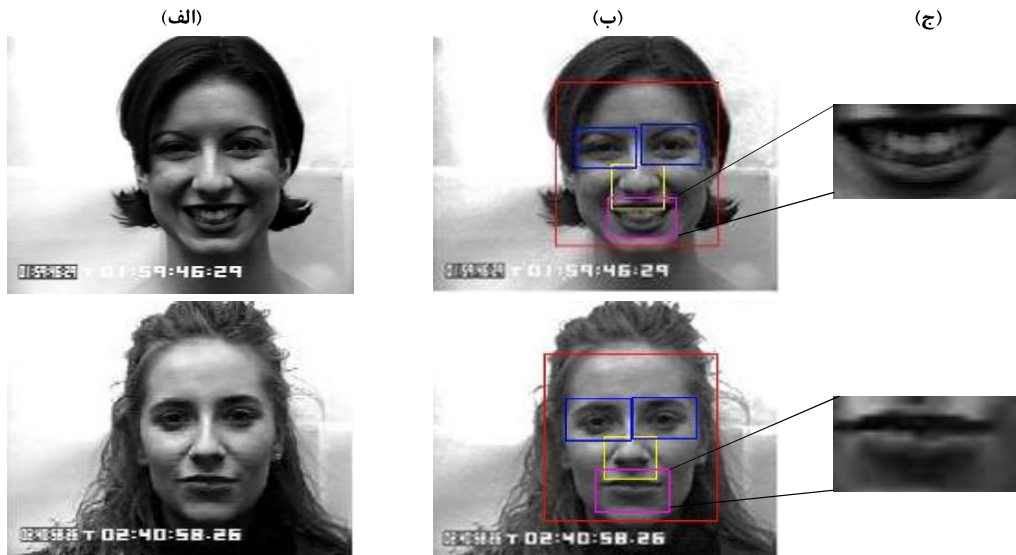
(الف) (ب)
(شکل-۸): نتایج مرحله پیش پردازش: (الف) تصاویر ورودی خام، (ب) تصاویر خروجی
(Figure-8): The pre-processing step results: a) raw input images, b) output images.

بافت LBP این محدوده آشکار می شود. در این روش، تصویر بهبود داده شده، ابتدا به زیر تصاویری با پیکره های 24×24 پیکسل تقسیم بندی شده و سپس ویژگی های خط، لبه و

در گام بعدی، تشخیص حالات لبخند و خنده چهره به کمک ویژگی های محدود لب انجام می پذیرد؛ درنتیجه در این مرحله جهت کاهش پیچیدگی پردازش با روش تحلیل

یادگیری آدابوست انجام می‌شود [34,35]. شکل (۹) خروجی این مرحله را نشان می‌دهد.

مستطیل شکل در این پنجره‌ها استخراج می‌شوند. ارزیابی ویژگی‌ها توسط تصاویر انتگرال با عمق یک انجام و انتخاب بهترین ویژگی‌ها جهت آشکارسازی محدوده لب با الگوریتم



(شکل-۹): نتایج آشکارسازی محدوده لب: (الف) تصویر ورودی، ب) آشکارسازی اجزا چهره، ج) آشکارسازی محدوده لب
(Figure-9): The mouth area detection results: a) input image, b) facial parts detection c) mouth area detection.

یک فضای برداری با کاهش مجموعه نقاط گوشه آشکار شوند، نقاطی که بیشترین تأثیر در واریانس را دارند، حفظ شده و مابقی حذف شوند؛ مرحله بازشناسی در این مرحله نیز همانند سناریوی نخست انجام شد. در سناریوی سوم، مازول ترکیبی الگوریتم Harris و الگوریتم BRISK در دو فاز کاری موازی به صورت جداگانه وظیفه آشکارسازی نقاط بحرانی محدوده لب تصاویر را بر عهده دارند. در مرحله نخست همانند سناریوی نخست نقاط بحرانی استخراج می‌شود. در مرحله دوم، توصیف نقاط بحرانی محدوده لب در الگوریتم BRISK تا عمق چهار نمونه اکتاواها بر پایه الگوریتم (۲) انجام می‌شود؛ بدین صورت که میزان شدت روشنایی حول یک پیکسل مرکزی با پیکسل‌ها در همسایگی درجه سوم هر نمونه اکتاو مقایسه می‌شود. در صورتی که از حد آستانه $1/0.1$ بیشتر باشد، به عنوان پیکسل کلیدی در نظر گرفته می‌شود. با محاسبه مجموعه فاصله نزدیک ($\sigma_{min} < \sigma$) و فاصله دور ($\sigma_{max} >$) پیکسل‌های کلیدی به دو گروه تقسیم می‌شوند. با محاسبه گرادیان محلی مجموع زوج نقاط با فاصله دور جهت‌گرایی تصویر را می‌توان توصیف و همچنین با محاسبه فاصله همینگ بین نقاط نامزد کلیدی، مجموعه نقاط بحرانی را توصیف کرد. در مرحله بازشناسی این سناریو، ابتدا تابع برازش نقاط کلیدی استخراج شده از الگوریتم‌های Harris و

سه سناریوی مختلف جهت استخراج نقاط بحرانی محدوده لب آشکارسازی شده بر پایه الگوریتم Harris ارائه شده است و سپس بازشناسی حالات خنده و لبخند برای هر یک از سناریوها پیشنهاد شد. در سناریوی نخست، الگوریتم گوشه‌های هندسی تصویر را از گوشه‌های بافت یا نوفه در محدوده لب متمایز کرده و به عنوان نقاط بحرانی و یا ویژگی‌های محلی (الگوریتم (۱)) بر می‌گرداند. برای پیاده‌سازی الگوریتم Harris، ابتدا اندازه پنجره گوسی رابطه (۷) با مقدار σ برابر $1/5$ به دست آمده و سپس گرادیان یا میزان تغییر جهت در هر پنجره تصویر بر روی محور x و y در رابطه (۸) محاسبه می‌شوند. در ادامه، مقدار پارامتر α در تابع پاسخ (رابطه (۹)) نیز در مطلوب‌ترین حالت برابر $4/0$ در در نظر گرفته شده و در صورت بزرگ‌بودن مقدار دatar تابع پاسخ با حد آستانه پنجاه‌هزار، مشخص می‌شود یک پیکسل در ناحیه گوشه قرار دارد (شکل (۱۰))؛ در مرحله بازشناسی این سناریو، نقاط گوشه استخراج شده به عنوان نقاط کنترلی منحنی بزرگ در نظر گرفته می‌شود؛ در واقع خاصیت پوسته محدب یک ویژگی مهم منحنی بزرگ است که در ادامه توسط تابع برنشتاین تفسیر شکل نقاط به دست آمده منحنی که همان بازشناسی حالت چهره است، انجام می‌گیرد. در سناریوی دوم، بر روی نقاط استخراج شده از الگوریتم (۱)، PCA را اعمال کرده تا در

(جدول-۲): میزان طول فاصله اقلیدسی نقاط بیشینه و کمینه

تابع درجه دوم سه‌می

(Table-2): Euclidean distance from the minimum and maximum points of quadratic equations.

$Dist(x,y)$	$A_1 < 0$	$A_2 < 0$	حالت
>2500	0	0	اول
>3000	0	1	دوم
>2000	1	0	سوم
<5000 یا >7000	1	1	چهارم

نرخ پراکندگی خطای سامانه در جدول (۵) نشان داده شده است؛ بهطور تقریبی نیمی از خطاهای سامانه مربوط به تصاویر است که در موقعیت و شرایط نامطلوب همچون نمای دور چهره و یا اختلاف شدت نور زیاد تصویربرداری و تهیه شده‌اند؛ و یا حدود ۲۰٪ تصاویری که چهره‌های آن‌ها همزمان دارای ریش و سبیل بوده‌اند، بدلیل مشخص‌بودن نقاط کلیدی گوشه‌های لب به استثناء تشخیص داده شده‌اند؛ از طرفی دیگر، خطاهای باقیمانده سامانه را می‌توان بهطور تقریبی به تساوی ناشی از وجود چین و چروک و یا فقط سبیل در چهره‌ها گزارش کرد.

BRISK در قالب دو معادله درجه دو به دست آمد؛ سپس نقاط بیشینه و کمینه هر معادله محاسبه شد. برایه توصیف رقمی فاصله اقلیدسی این نقاط و به کمک اعداد تجربی به دست آمده در جدول (۲)، حالات چهره بازناسی شد. به عنوان مثال، همان‌گونه که در سطر نخست جدول (۲) مشاهده می‌شود، در صورتی که هر دو مقادیر منفی ($A_i < 0$) و فاصله اقلیدسی دو تابع درجه دو سه‌می بزرگ‌تر از ۲۵۰۰ باشد، آن‌گاه حالت چهره بازناسی می‌شود. در ضمن اگر مقادیر i ، y_i ها خیلی بزرگ باشند، بازناسی چهره اتفاق نخواهد افتاد. نتایج مقدار کمینه و بیشینه نقاط بحرانی در محدوده لب تصاویر پایگاه داده‌ها در جدول (۳) نشان داده شده است. در جدول (۴) مقادیر به دست آمده برای میزان حساسیت سامانه نسبت به چرخش تصاویر نشان داده شده است؛ نتایج شیوه‌سازی، بیان‌گر بهبود مقاومت سامانه در برابر چرخش تصاویر با وجود کاهش بعد استخراج نقاط کلیدی است، درواقع این بدان دلیل است که شکل هندسی و فاصله نقاط کلیدی از هم دیگر در بازناسی سامانه نقش اصلی را ایفا می‌کنند. ذکر این نکته ضروری به نظر می‌رسد که اگر چه سناریوهای پیشنهادی در راستای افزایش دامنه چرخش تصاویر و کاهش پیچیدگی محاسباتی است، اما فاصله تا چرخش کامل از معایب آن است.

(جدول-۳): تعداد کمینه و بیشینه نقاط بحرانی در تصاویر پایگاه داده‌ها

(Table-3): The minimum and maximum values of critical points in the different image datasets.

تعداد نقاط کلیدی مستخرج در پایگاه داده								روش	
CAFÉ		Yale		JAFFE		Cohn-Kanade			
بیشینه	کمینه	بیشینه	کمینه	بیشینه	کمینه	بیشینه	کمینه		
640	10	519	8	204	10	168	1	سناریوی نخست: Harris	
96	8	90	7	45	8	113	1	سناریوی دوم: PCA + Harris	
90	6	81	7	40	7	20	1	سناریوی سوم: BRISK + Harris	

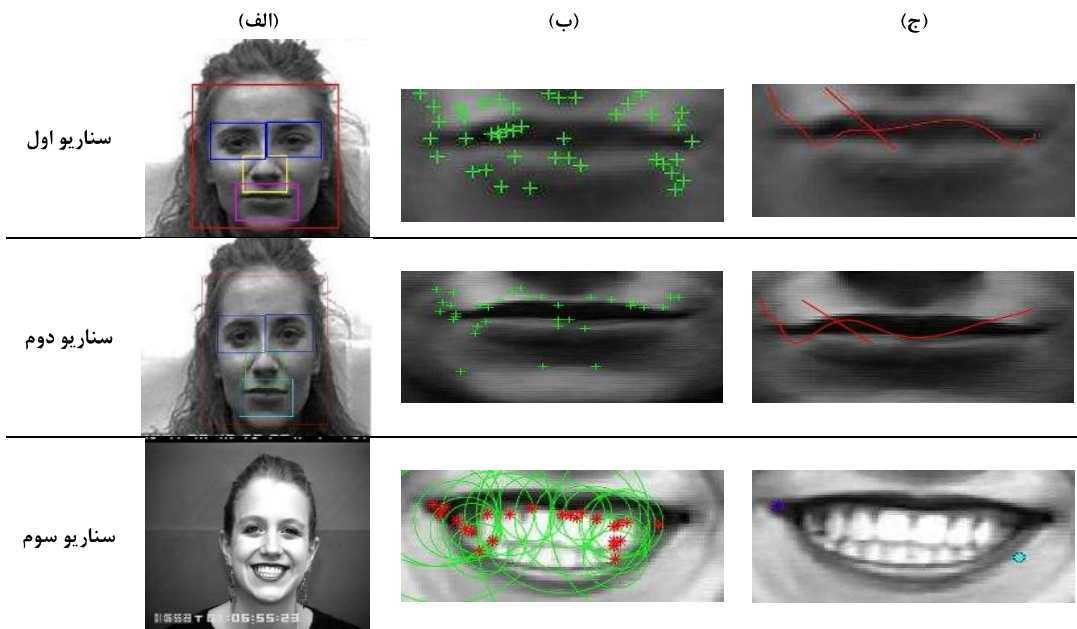
(جدول-۴): میزان کمینه و بیشینه چرخش در تصاویر پایگاه داده‌ها

(Table-4): The maximum and minimum values of rotation in the different image datasets.

میانگین بیشینه	میانگین کمینه	سامانه مقاوم نسبت به چرخش در پایگاه داده								روش	
		CAFÉ		Yale		JAFFE		Cohn-Kanade			
		بیشینه	کمینه	بیشینه	کمینه	بیشینه	کمینه	بیشینه	کمینه		
41	3.25	46	3	48	5	30	3	40	2	Harris: سناریوی نخست	
52.5	6.75	54	7	56	7	47	6	53	7	PCA + Harris: سناریوی دوم	
58.25	9.75	68	13	55	8	48	10	62	8	BRISK + Harris: سناریوی سوم	

(جدول-۵): نرخ خطای تشخیص در تصاویر پایگاه داده‌ها
 (Table-5): Recognition error rate in the different image datasets.

سناریو سوم: BRISK + Harris				سناریو دوم: PCA + Harris				سناریو اول: Harris				نوع خطا
CAFÉ	Yale	JAFFE	Cohn Kaonde	CAFÉ	Yale	JAFFE	Cohn Kaonde	CAFÉ	Yale	JAFFE	Cohn Kaonde	
0.005	0.009	---	0.018	0.007	0.013	---	0.083	0.017	0.014	---	0.113	سیبل
0.015	0.014	---	0.028	0.029	0.032	---	0.11	0.052	0.041	---	0.057	ریش و سیبل
0.014	0.005	0.028	0.009	0.021	0.006	0.018	0.028	0.035	0.027	0.068	0.028	صورت مسن، چین و چروکی
0.036	0.023	0.083	0.055	0.043	0.019	0.123	0.11	0.086	0.068	0.113	0.142	تصاویر نامطلوب



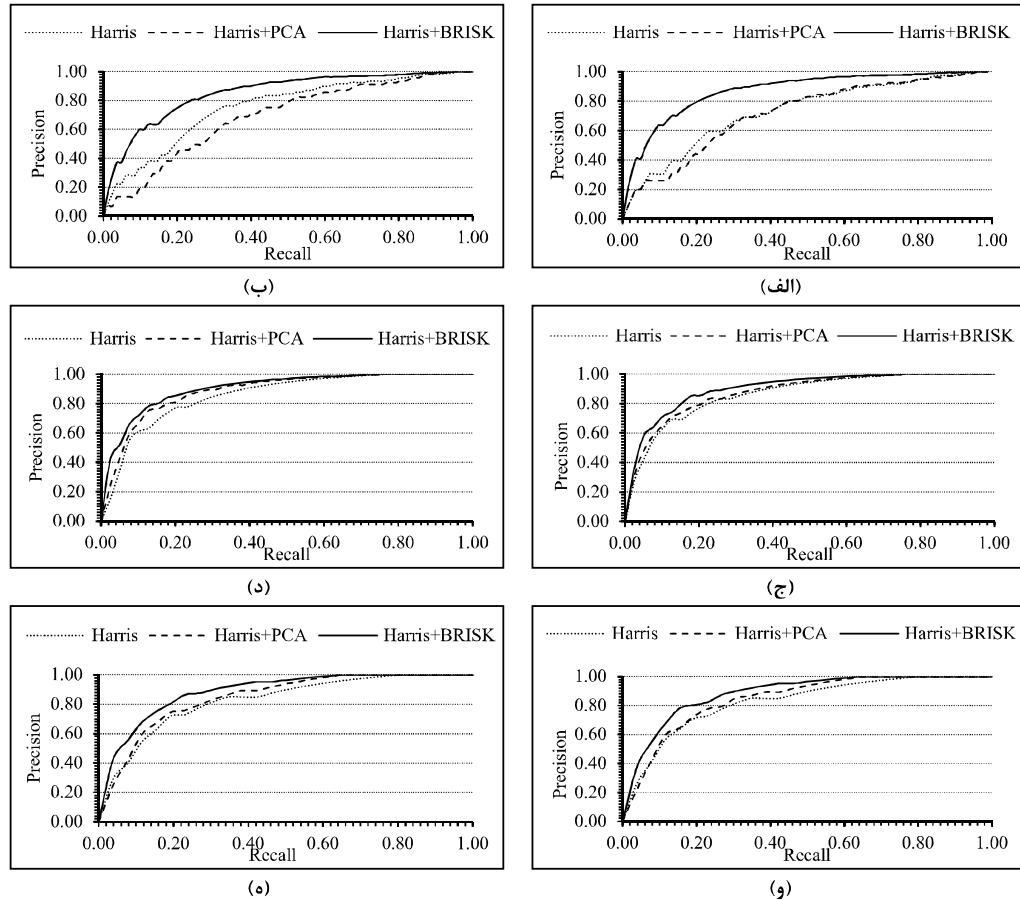
(شکل-۱۰): کمینه و بیشینه نقاط گوشش استخراج شده در محدوده لب: (الف) آشکارسازی اجزا چهره، (ب) استخراج نقاط کلیدی محلی، (ج) آشکارسازی حالت چهره
 (Figure-10): The minimum and maximum number of the extracted corner points in the mouth area: a) facial parts detection, b) extracting local key points, c) facial expression detection.

قسمت پیادسازی سامانه گزارش شده‌اند. این نتایج نشان می‌دهد که استخراج زیاد تعداد نقاط بحرانی منجر به افزایش نرخ دقت بازشناسی سامانه نمی‌شود و فقط نقاط بحرانی حاوی اطلاعات معنادار نقش مستقیمی در بالابردن کارایی سامانه می‌توانند داشته باشند. جدول (۶) نرخ متوسط بازشناسی حالات خنده و لبخند بر روی دادگان پژوهش را نشان می‌دهد که نتایج تأیید می‌کنند با هدایت کلی سامانه به استخراج نقاط با مؤلفه‌های ذاتی معنادار هم بیچیدگی محاسبات را کاست و هم نرخ کارایی سامانه را می‌توان افزایش داد و همچنین عملکرد کلی سامانه را قابل قبول ارزیابی می‌کند.

در این قسمت به ارزیابی سه سناریوی مختلفی که سعی کرده‌اند، نقاط بحرانی را بر پایه گوشش‌یابی، کاهش ابعاد داده و توصیفگر نقاط متمایز کنند، پرداخته می‌شود. نتیجه بازشناسی حالات لبخند و خنده چهره این سناریوها بر روی دادگان پژوهش به ترتیب در شکل (۱۱) نشان داده شده است. این نمودارها بر اساس دو معیار فراخوانی^۱ و دقت^۲ با اجرای تصادفی بر روی تصاویر پایگاهداده با تنظیمات ذکر شده در

^۱ Recall

^۲ Precision



(شکل-۱۱): نتایج بازشناسی حالات چهره در پایگاه داده‌های مختلف: (الف) (لبخند)، (ب) (خنده)، (ج) CAFE (خنده)، (د) JAFFE (خنده)، (و) CAFE (لبخند)، (ز) CAFE (لبخند)، (ع) JAFFE، (ه) Yale

(Figure-11): The facial expression recognition results in the different databases: a) Cohn-Kaonde (smile), b) Cohn-Kaonde (laugh), j) CAFE (smile), d) CAFE (laugh), v) JAFFE, h) Yale

(جدول-۶): نتایج نرخ متوسط بازشناسی حالات چهره در پایگاه داده‌های مختلف و کل سیستم

(Table-6): The overall percentage of facial expression recognition in the different databases.

کل سیستم	متوجه نرخ دقت بازشناسی در حالات خنده و لبخند (%)					روش
	Yale	CAFE	JAFFE	Cohn-Kanade		
0.79	0.81	0.85	0.82	0.66	Harris	سناریوی نخست:
0.84	0.9	0.93	0.86	0.67	Harris + PCA	سناریوی دوم:
0.92	0.93	0.95	0.89	0.89	Harris + BRISK	سناریوی سوم:

نشده است و پایه روش پیشنهادی آنها بر آموزش سامانه است؛ به گونه‌ای که تطبیق حالت چهره در آزمون با حالت چهره آموزش دیده وابستگی به خصوصیات ذاتی هر پایگاه داده تصاویر را نشان می‌دهد. ذکر این نکته ضروری به نظر می‌رسد که اگر تعداد نقاط مستخرج زیاد باشد، درنتیجه تعداد نقاط با ویژگی‌های نامفید افزایش می‌یابد و به طور طبیعی باعث

جدول (۷) مقایسه روش‌های مختلف را نشان می‌دهد. نتایج نشان می‌دهد با کاهش ابعاد استخراج ویژگی‌ها، پیچیدگی محاسبات نیز کم می‌شود و سرعت اجرا افزایش می‌یابد؛ همچنین از نقطه نظر ارزیابی کمی، بعضی از روش‌ها دارای نرخ دقت تشخیص بالاتر هستند؛ ولی از نظر کیفی میزان مقاومت در برابر چرخش و یا متوسط زمان اجرا گزارش

نرخ زمان اجرای به دست آمده مربوط به سناریوی سوم است که در مقایسه با کارهای دیگران، به طور میانگین بر روی تمامی پایگاه داده‌ها بالاترین نرخ دقت بازشناسی ۹۱/۵ درصد و نرخ زمان اجرای ۰/۷۷۱ ثانیه بر تصویر را دارد؛ از طرف دیگر همان‌طور که در این مقایسه مشاهده می‌شود، نرخ دقت بازشناسی سناریوی پیشنهادی سوم در پایگاه‌داده‌های CAFE و Yale بیشتر از سایرین، در پایگاه داده‌های Cohn-CAFFE و Kaonde گزارش شده توسط [41] است. هر چند الگوریتم پیشنهادی در بهترین حالت توانسته در دو پایگاه داده نسبت به کارهای دیگران بهتر، در دو تابعی دیگر نیز برابر و یا نرخ بازشناسی کمتری به دست آورد، اما در مجموع با توجه به زمان اجرای کمتر الگوریتم پیشنهادی برتری محسوسی را در مقایسه با پژوهش‌های دیگران دارد.

نامطلوب شدن زمان محاسبات می‌شوند؛ از طرفی دیگر ماهیت اصلی الگوریتم‌های توصیف‌گر و استخراج‌کننده ویژگی‌های تصاویر استفاده شده در این پژوهش، بدین صورت است که در یک محدوده خاص وضوح تصویر دارد؛ و هر قدر تصاویر ورودی در این محدوده دارای وضوح بالاتری باشند دقت و تعداد استخراج نقاط کلیدی مطلوب‌تر خواهد بود. در پایان به طور میانگین در صورت تبدیل مقیاس تصاویر اصلی به اندازه کمینه ۰/۴ و بیشینه پنج برابر آن، روش پیشنهادی به خوبی کار می‌کند. همان‌طور که در این جدول مشاهده می‌شود، میزان میانگین مقاومت در برابر چرخش الگوریتم پیشنهادی در بهترین حالت ± 34 است، این در حالی است که این ارزیابی مقاومت در الگوریتم‌های سایر پژوهش‌گران ارائه نشده است. همچنین، بالاترین نرخ دقت بازشناسی و کمترین

(جدول-۷): مقایسه کمی نتایج روش پیشنهادی با کارهای مرتبط

(Table-7): Quantitative comparison results of the proposed method with related works.

زمان اجرا (ثانیه بر تصویر)	مشخصات نرم افزار و سیستم	دقت سیستم (%)	آموزش سیستم	بازشناسی	میانگین contra	پایگاه داده	منابع
---	---	84	بلی	Enhanced LBP	---	JAFFE	[42]
---	---	78	بلی	Gabor wavelet representation + LDA	---	JAFFE	[43]
1.533 2.292 1.498	SW: Matlab, CPU: Intel Pentium Dual-Core™ 2.5 GHz, RAM: 3GB	88.7 86.1 86.8	بلی	PCA+ICA & LDA+HMM	---	JAFFE Cohn-Kaonde Yale	[41]
1.29 1.908 1.034		90 94 88		Wavelet Transform + HMM			
---	SW: ---, CPU: Intel Core i3 2.67 GHz, RAM: 2G	89.67 91.51	بلی	Gabor + PCA	---	JAFFE Cohn-Kaonde	[44]
2.751 2.194 7.233 7.089	SW: MatlabR2015b, CPU: Intel Core i5 2.4 GHz, RAM: 4GB	66 85 82 81	خر	Harris	± 22.13	روش پیشنهادی (سناریوی نخست) روش پیشنهادی (سناریوی دوم) روش پیشنهادی (سناریوی سوم)	
2.446 2.023 3.376 2.675		67 86 93 90		PCA + Harris	± 29.63		
0.83 0.752 0.743 0.758		89 89 95 93		BRISK + Harris	± 34		

حاوی اطلاعات معنادار هستند ارائه شدند. همان‌طور که بیان شد، کمترین تعداد این نقاط استخراج شده و بیشترین نرخ دقق بازشناسی مربوط به سناریوی BRISK+Harris بود که علاوه‌بر حاصل شدن نتایج قابل قبول، تأثیر به کارگیری

۵- نتیجه‌گیری و کارهای آینده

در این مقاله سامانه‌ای بر پایه سه سناریوی مختلف استخراج نقاط بحرانی محدوده لب پیشنهاد شد. این سناریوها بر اساس روندی که موجب افزایش شанс استخراج نقاط بحرانی که



- بازشناسی چهره با یک تصویر از هر فرد، پژوهش علائم و داده‌ها، ۱۳۹۴، ۱۲(۱): ۳-۱۶.
- [7] S. Z. Seyyedsalehi and S. A. Seyyedsalehi, "Improving the nonlinear manifold separator model to the face recognition by a single image of per person," (in eng), *Signal and Data Processing*, Research vol. 12, no. 1, pp. 3-16, 2015.
 - [8] M. Harouni, D. Mohamad, M. S. M. Rahim, S. M. Halawani, and M. Afzali, "Handwritten Arabic character recognition based on minimal geometric features," *International Journal of Machine Learning and Computing*, vol. 2, no. 5, p. 578, 2012.
 - [9] A. J. Calder, A. M. Burton, P. Miller, A. W. Young, and S. Akamatsu, "A principal component analysis of facial expressions," *Vision research*, vol. 41, no. 9, pp. 1179-1208, 2001.
 - [10] S. Jairath, S. Bharadwaj, M. Vatsa, and R. Singh, "Adaptive skin color model to improve video face detection," in *Machine Intelligence and Signal Processing*: Springer, 2016, pp. 131-142.
 - [11] D. Reska, C. Boldak, and M. Kretowski, "A texture-based energy for active contour image segmentation," in *Image Processing & Communications Challenges 6*: Springer, 2015, pp. 187-194.
 - [12] M. Turk and A. Pentland, "Eigenfaces for recognition," *Journal of cognitive neuroscience*, vol. 3, no. 1, pp. 71-86, 1991.
 - [13] S. Toyota, I. Fujiwara, M. Hirose, N. Ojima, K. Ogawa-Ochiai, and N. Tsumura, "Principal component analysis for the whole facial image with pigmentation separation and application to the prediction of facial images at various ages," *Journal of Imaging Science and Technology*, vol. 58, no. 2, pp. 20503-1-20503-11, 2014.
 - [14] M. H. Siddiqi, R. Ali, A. M. Khan, Y.-T. Park, and S. Lee, "Human facial expression recognition using stepwise linear discriminant analysis and hidden conditional random fields," *IEEE Transactions on Image Processing*, vol. 24, no. 4, pp. 1386-1398, 2015.
 - [15] J. Lu, K. N. Plataniotis, and A. N. Venetsanopoulos, "Face recognition using kernel direct discriminant analysis algorithms," *IEEE Transactions on Neural Networks*, vol. 14, no. 1, pp. 117-126, 2003.
 - [16] M. S. Bartlett, J. R. Movellan, and T. J. Sejnowski, "Face recognition by independent component analysis," *IEEE transactions on neural networks/a publication of the IEEE Neural Networks Council*, vol. 13, no. 6, p. 1450, 2002.

الگوریتم‌های توصیف‌گر در کاهش تعداد نقاط مستخرج و بالا بردن نرخ دقت بازشناسی سامانه را نشان می‌دهد. جهت ارزیابی کلی سنتاریوهای سامانه پیشنهادی، به طور میانگین بالاترین نرخ دقت بازشناسی ۹۱/۵ درصد و نرخ زمان اجرای ۰/۷۷۱ ثانیه بر تصویر بر روی کلیه تصاویر پایگاه داده‌های شاخص به دست آمد. در پایان، به کارگیری دیگر الگوریتم‌های توصیف‌گر در سامانه بازشناسی حالات مختلف چهره به عنوان پژوهش‌های آینده مورد بررسی می‌تواند قرار گیرد. همچنین جهت ارتقای سامانه پیشنهادشده از الگوریتم‌های یادگیری عمیق جهت طبقه‌کننده نقاط بحرانی می‌توان استفاده کرد.

6- References

- [1] J. L. Lakin, "Automatic cognitive processes and nonverbal communication," *The Sage handbook of nonverbal communication*, pp. 59-77, 2006.
- [2] M. Harouni, D. Mohamad, and A. Rasouli, "Deductive method for recognition of on-line handwritten Persian/Arabic characters," in *Computer and Automation Engineering (ICCAE), 2010 The 2nd International Conference on*, 2010, vol. 5, pp. 791-795: IEEE.
- [3] L. Sánchez López, "Local Binary Patterns applied to Face Detection and Recognition," 2010.
- [4] نادری شفایق، مقدم چرکری نصرالله، کبیر احسان‌اله. بهبود محلی کیفیت تصاویر چهره با سایه شدید به منظور ارتقای شناسایی، پژوهش علائم و داده‌ها، ۱۳۹۰، دوره ۸ (۱): ۵۵-۶۶.
- [5] N. M. C. Shaghayegh Naderi, Esanollah Kabir, "Region-based Quality Improvement of Facial Images with Strong Shadows to Enhance Recognition," (in eng), *Signal and Data Processing*, Research vol. 8, no. 1, pp. 55-66, 2011.
- [6] M. Harouni, M. Rahim, M. Al-Rodhaan, T. Saba, A. Rehman, and A. Al-Dhelaan, "Online Persian/Arabic script classification without contextual information," *The Imaging Science Journal*, vol. 62, no. 8, pp. 437-448, 2014.
- [7] D. A. Lisin, M. A. Mattar, M. B. Blaschko, E. G. Learned-Miller, and M. C. Benfield, "Combining local and global image features for object class recognition," in *Computer vision and pattern recognition-workshops, 2005. CVPR workshops. IEEE Computer society conference on*, 2005, pp. 47-47: IEEE.
- [۸] سیدصالحی سیده زهره، سیدصالحی سیدعلی. بهبود مدل تفکیک‌کننده منیفلدهای غیرخطی به منظور

- [27] R. Agada and J. Yan, "Edge based mean LBP for valence facial expression detection," in *Electrical, Computer and Communication Technologies (ICECCT), 2015 IEEE International Conference on*, 2015, pp. 1-7: IEEE.
- [۲۸] احمدخانی سمية، ادیبی پیمان. مدل ترکیبی تحلیل مؤلفه اصلی احتمالاتی بازنگاری در چارچوب کاوش بعد بدون اتلاف برای شناسایی چهره. پژوهش علوم و فنون، ۱۳۹۴، ۱۲، ۵۳-۶۵.
- [28] S. Ahmadkhani and P. Adibi, "Supervised Probabilistic Principal Component Analysis Mixture Model in a Lossless Dimensionality Reduction Framework for Face Recognition," *Signal and Data Processing*, vol. 12, no. 4, pp. 53-65, 2016.
- [29] T. Kanade, Y. Tian, and J. F. Cohn, "Comprehensive database for facial expression analysis," in *fg*, 2000, p. 46: IEEE.
- [30] M. Lyons, S. Akamatsu, M. Kamachi, and J. Gyoba, "Coding facial expressions with gabor wavelets," in *Automatic Face and Gesture Recognition, 1998. Proceedings. Third IEEE International Conference on*, 1998, pp. 200-205: IEEE.
- [31] M. Dailey, G. Cottrell, and J. Reilly, "California facial expressions (cafe)," *Unpublished digital images, University of California, San Diego, Computer Science and Engineering Department*, 2001.
- [32] A. Georghiades, P. Belhumeur, and D. Kriegman, "Yale face database," *Center for computational Vision and Control at Yale University*, <http://cvc.yale.edu/projects/yalefaces/yalefa>, vol. 2, p. 6, 1997.
- [33] V. Tipsuwanpom, V. Krongratana, S. Gulpanich, and K. Thongnopakun, "Fire detection using neural network," in *SICE-ICASE, 2006. International Joint Conference*, 2006, pp. 5474-5477: IEEE.
- [34] P. Ji, Y. Kim, Y. Yang, and Y.-S. Kim, "Face occlusion detection using skin color ratio and LBP features for intelligent video surveillance systems," in *Computer Science and Information Systems (FedCSIS), 2016 Federated Conference on*, 2016, pp. 253-259: IEEE.
- [35] O. H. Jensen, "Implementing the Viola-Jones face detection algorithm," Technical University of Denmark, DTU, DK-2800 Kgs. Lyngby, Denmark, 2008.
- [36] C. Harris and M. Stephens, "A combined corner and edge detector," in *Alvey vision conference*, 1988, vol. 15, no. 50, pp. 10-5244: Citeseer.
- [17] R. Okamoto, S. Bando, and A. Nozawa, "Blind signal processing of facial thermal images based on independent component analysis," *IEEJ Transactions on Electronics, Information and Systems*, vol. 136, no. 8, pp. 1142-1148, 2016.
- [18] E. Rosten and T. Drummond, "Machine learning for high-speed corner detection," in *European conference on computer vision*, 2006, pp. 430-443: Springer.
- [19] H. Yoo, U. Yang, and K. Sohn, "Gradient-enhancing conversion for illumination-robust lane detection," *IEEE Transactions on Intelligent Transportation Systems*, vol. 14, no. 3, pp. 1083-1094, 2013.
- [20] B.-W. Chen, S. Rho, M. Guizani, and W.-K. Fan, "Cognitive sensors based on ridge phase-smoothing localization and multiregional histograms of oriented gradients," *IEEE Transactions on Emerging Topics in Computing*, 2016.
- [21] B. Bell and L.-F. Pau, "Contour tracking and corner detection in a logic programming environment," *IEEE Transactions on pattern analysis and machine intelligence*, vol. 12, no. 9, pp. 913-917, 1990.
- [22] S. Agarwal and D. P. Mukherjee, "Facial expression recognition through adaptive learning of local motion descriptor," *Multimedia Tools and Applications*, vol. 76, no. 1, pp. 1073-1099, 2017.
- [23] M. Harouni, D. Mohamad, M. S. M. Rahim, and S. M. Halawani, "Finding Critical Points of Handwritten Persian/Arabic Character," *International Journal of Machine Learning and Computing*, vol. 2, no. 5, p. 573, 2012.
- [24] G. Gao, K. Jia, and B. Jiang, "An Automatic Geometric Features Extracting Approach for Facial Expression Recognition Based on Corner Detection," in *Intelligent Information Hiding and Multimedia Signal Processing (IIH-MSP), 2015 International Conference on*, 2015, pp. 302-305: IEEE.
- [25] Z. H. Shah and V. Kaushik, "Performance analysis of canny edge detection for illumination invariant facial expression recognition," in *Industrial Instrumentation and Control (ICIC), 2015 International Conference on*, 2015, pp. 584-589: IEEE.
- [26] H. Candra, M. Yuwono, R. Chai, H. T. Nguyen, and S. Su, "Classification of facial-emotion expression in the application of psychotherapy using Viola-Jones and Edge-Histogram of Oriented Gradient," in *Engineering in Medicine and Biology Society (EMBC), 2016 IEEE 38th Annual International Conference of the*, 2016, pp. 423-426: IEEE.



مجید هارونی تحصیلات خود را در مقطع کارشناسی مهندسی کامپیوتر در سال ۱۳۸۲ در دانشگاه آزاد اسلامی واحد نجف آباد به پایان رساند. مقاطع کارشناسی ارشد و دکترای مهندسی کامپیوتر را در دانشگاه تکنولوژی مالزی تحت بورسیه وزارت علوم، فناوری و نوآوری مالزی به ترتیب در سال‌های ۱۳۸۸ و ۱۳۹۲ تکمیل کرد. ایشان در حال حاضر عضو هیئت علمی واحد دولت‌آباد و سرپرست آزمایشگاه پردازش چندرسانه‌ای ادراکی این واحد دانشگاهی است. پژوهش‌های مورد علاقه ایشان در زمینه پردازش چندرسانه‌ای ادراکی، بازشناسی الگو و بینایی ماشین است.

نشانی رایانماء ایشان عبارت است از:

m.harouni@iauda.ac.ir
majid.harouni@gmail.com

- [37] X. Shunqing, Z. Weihong, and X. Wei, "Optimization of Harris corner detection algorithm," in *Advances in Control and Communication*: Springer, 2012, pp. 59-64.
- [38] M. N. Patil, B. Iyer, and R. Arya, "Performance Evaluation of PCA and ICA Algorithm for Facial Expression Recognition Application," in *Proceedings of Fifth International Conference on Soft Computing for Problem Solving*, 2016, pp. 965-976: Springer.
- [39] J. H. Shah, M. Sharif, M. Raza, and A. Azeem, "A Survey: Linear and Nonlinear PCA Based Face Recognition Techniques," *Int. Arab J. Inf. Technol.*, vol. 10, no. 6, pp. 536-545, 2013.
- [40] S. Leutenegger, M. Chli, and R. Y. Siegwart, "BRISK: Binary robust invariant scalable keypoints," in *Computer Vision (ICCV), 2011 IEEE International Conference on*, 2011, pp. 2548-2555: IEEE.
- [41] M. H. Siddiqi *et al.*, "Human facial expression recognition using curvelet feature extraction and normalized mutual information feature selection," *Multimedia Tools and Applications*, vol. 75, no. 2, pp. 935-959, 2016.
- [42] Y. Cao, W. Zheng, L. Zhao, and C. Zhou, "Expression recognition using elastic graph matching," in *International Conference on Affective Computing and Intelligent Interaction*, 2005, pp. 8-15: Springer.
- [43] M. J. Lyons, J. Budynek, and S. Akamatsu, "Automatic classification of single facial images," *IEEE transactions on pattern analysis and machine intelligence*, vol. 21, no. 12, pp. 1357-1362, 1999.
- [44] W. Gu, C. Xiang, Y. Venkatesh, D. Huang, and H. Lin, "Facial expression recognition using radial encoding of local Gabor features and classifier synthesis," *Pattern recognition*, vol. 45, no. 1, pp. 80-91, 2012.

مینا محمدی دشتی در سال ۱۳۹۲ مقطع کارشناسی خود را در رشته مهندسی کامپیوتر در دانشگاه آزاد اسلامی واحد دولت‌آباد به پایان رسانده است. در سال ۱۳۹۵ مدرک کارشناسی ارشد خود را در همان رشته (گرایش معماری سیستم‌های کامپیوتری) از دانشگاه آزاد اسلامی واحد نجف آباد اخذ کرده است. پژوهش‌های مورد علاقه ایشان در زمینه پردازش تصویر و بینایی ماشین است.

نشانی رایانماء ایشان عبارت است از:

m.mohammadi96@yahoo.com

